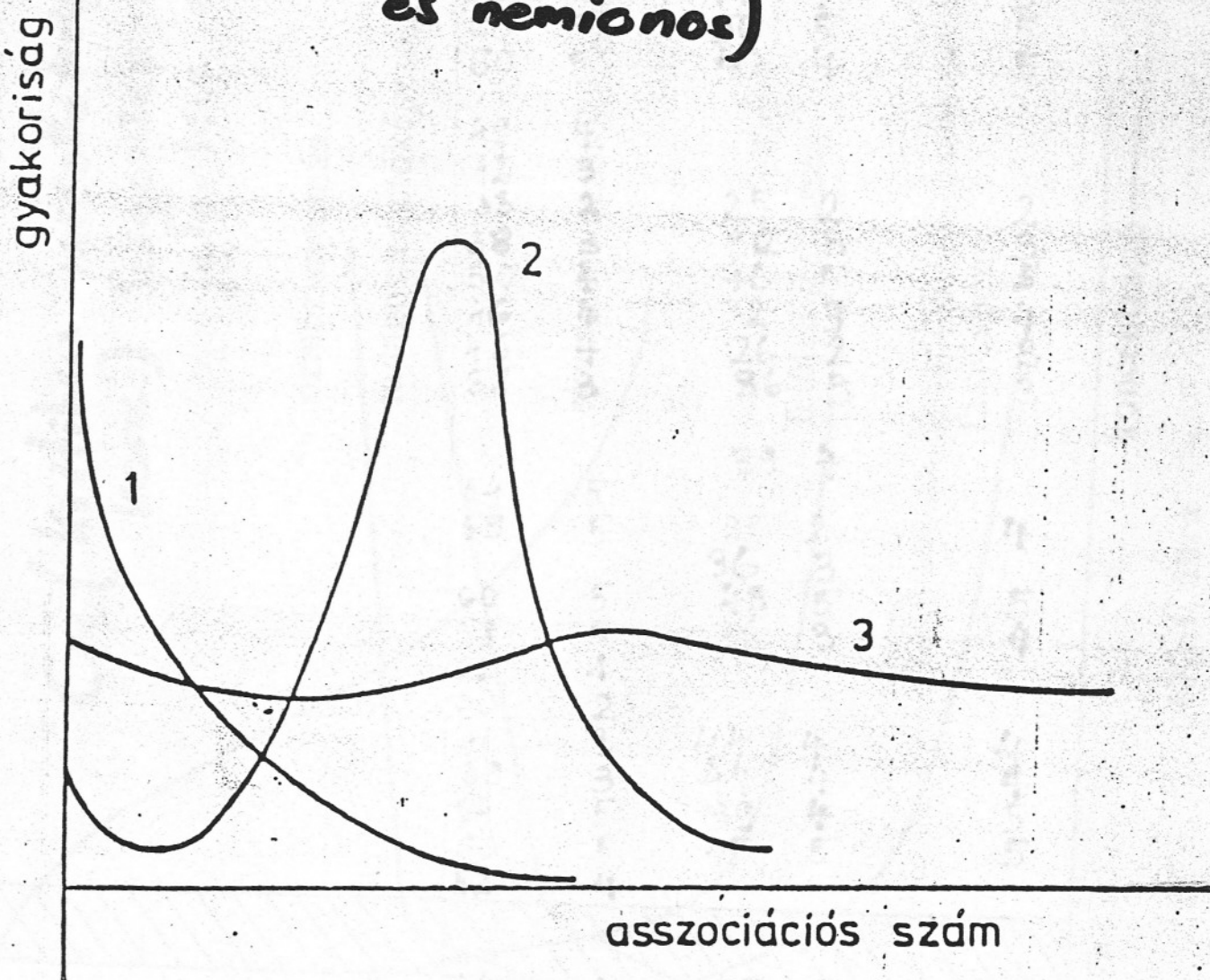


ASSZOCIÁCIÓS KOLLOIDOK

Asszociáció értelmezése

Asszociáció magyarázata, hajlereje
Tenzidek (cationos, anionos, amfoter,
és nemionos)

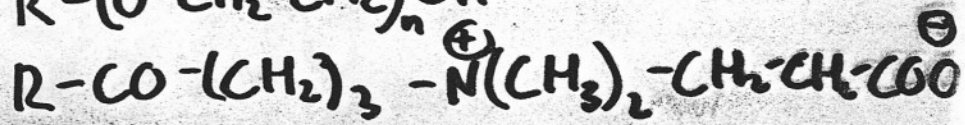
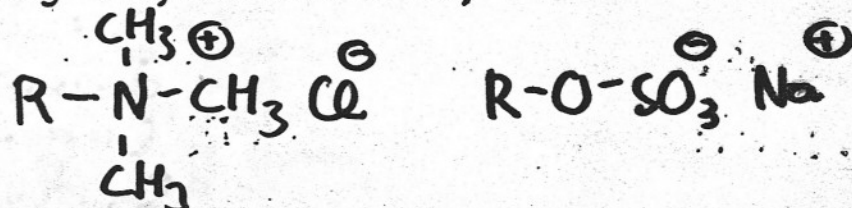


1: csak oligomerek

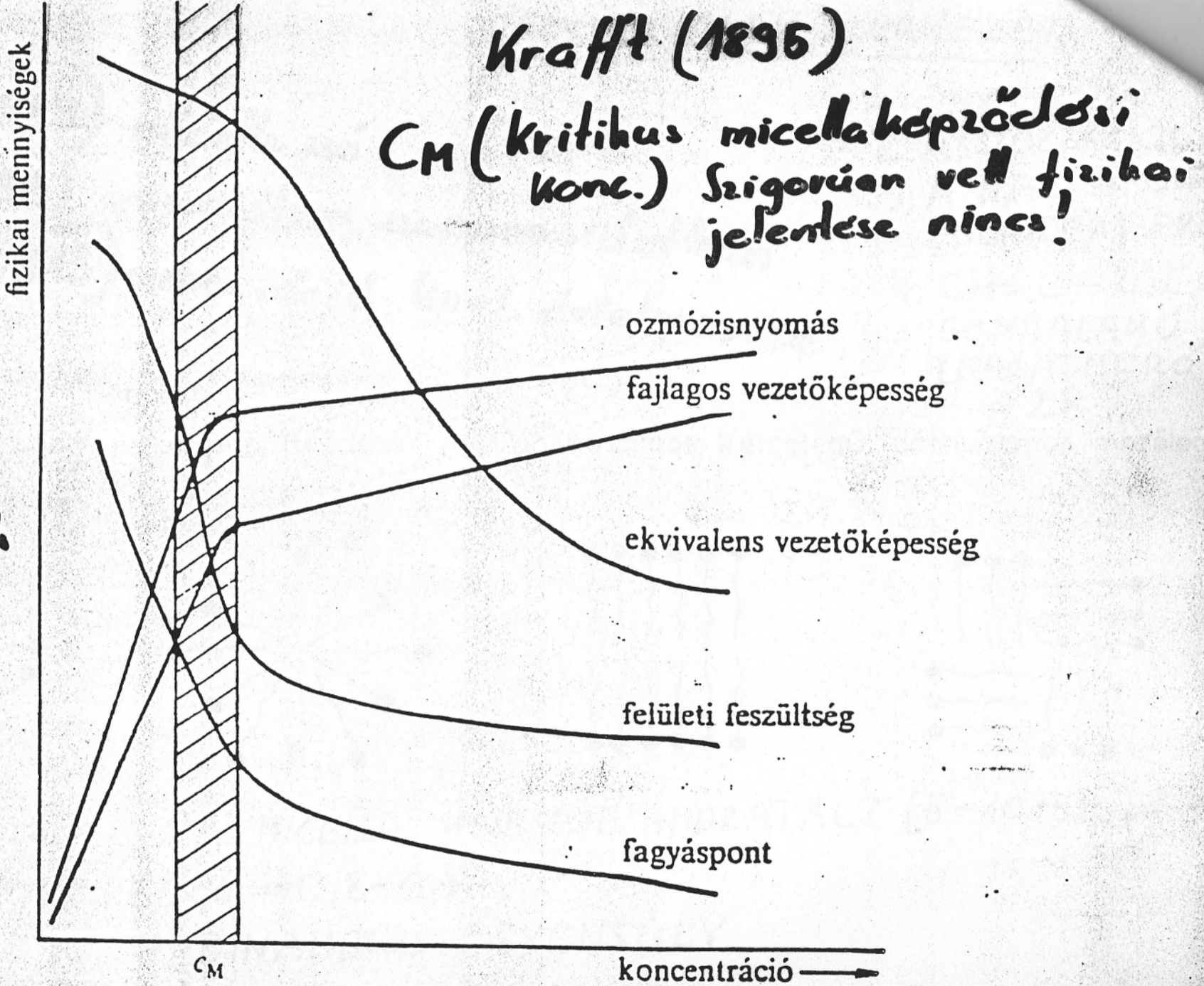
2: főleg micella

3: főleg folyadékkristály

67. ábra



C_M -et
 döntően az
 amfipatibus
 molekula
 szerkezete
 határozza meg!
 De!! ($T, p,$
 adalékenyagok
 és szennyezettségek
 is befolyásolják
 a C_M -et.)



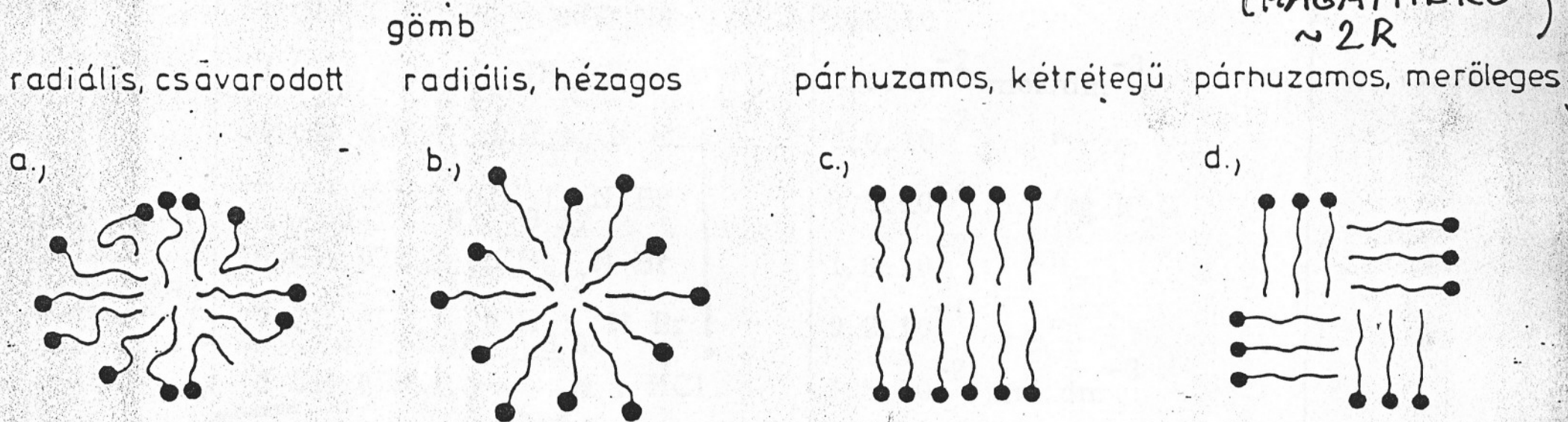
IX. 1. ábra

Néhány fizikai tulajdonság koncentrációsfüggésének sematikus ábrázolása

Micellák:

NAGYSÁG, ALAK, SZERKEZET

Nägeli (1889) micella né
 Kraft (1896) asszociációban seppanoldatban
 Reychler (1913) asszociáció kval. értelmezése



81. ábra

5. A MICELLA KÜLSEJE HIDRATÁLT (5-10 H₂O/pol. csap)
6. $\alpha = 0,2-0,4$
7. DINAMIKUS EGYENSÚLY

1. CMC
2. ASSZOCIÁCÍDS SZA
3. A MAG APOLÁR FOLYADEKSZERŰ
4. $C_M \leq C \leq 20 C_M$
GÖMBALAKÚ
(MAGÁTMÉRŐ)
 $\sim 2R$

* Nemionos tenzidek CH-je
mintegy 2-3 negyszerrenddel
hisebb!

21. táblázat folytatása

<p><u>hidrofób</u> <u>ldnc haszná</u></p> <p>{</p> <p>*</p>	9 $\text{CH}_3(\text{CH}_2)_{10}\text{COONa}$	ellenion	$2,8 \cdot 10^{-2}$ mol/kg H_2O
	10 $\text{CF}_3(\text{CF}_2)_6\text{COOK}$		$2,9 \cdot 10^{-2}$ "
	11 $\text{CH}_3(\text{CH}_2)_{7}-\text{C}_6\text{H}_4-\text{SO}_3\text{Na}$		$1,5 \cdot 10^{-2}$ "
	12 $\text{CH}_3(\text{CH}_2)_{11}-\text{C}_6\text{H}_4-\text{SO}_3\text{Na}$		$1,2 \cdot 10^{-3}$ "
	13 $\text{CH}_3(\text{CH}_2)_{11}(\text{NH}_3)\text{Cl}$		$1,5 \cdot 10^{-2}$ mol·dm ⁻³
	14 $\text{CH}_3(\text{CH}_2)_{11}(\text{CH}_3)_3\text{N Cl}$		$2,0 \cdot 10^{-2}$ "
	15 $\text{CH}_3(\text{CH}_2)_9(\text{CH}_3)_3\text{N Br}$		$6,5 \cdot 10^{-2}$ mol/kg H_2O
	16 $\text{CH}_3(\text{CH}_2)_{11}(\text{CH}_3)_3\text{N Br}$		$1,6 \cdot 10^{-2}$ "
	17 $\text{CH}_3(\text{CH}_2)_{15}(\text{CH}_3)_3\text{N Br}$		$9,2 \cdot 10^{-4}$ "
	18 $\text{CH}_3(\text{CH}_2)_{11}-\text{C}_6\text{H}_4-\text{N} \cdot \text{HCl}$		$1,5 \cdot 10^{-2}$ mol·dm ⁻³
	19 $\text{CH}_3(\text{CH}_2)_9-(\text{OCH}_2\text{CH}_2)_6\text{OH}$		$9,0 \cdot 10^{-4}$ "
	20 $\text{CH}_3(\text{CH}_2)_9-(\text{OCH}_2\text{CH}_2)_9\text{OH}$		$1,3 \cdot 10^{-3}$ "
	21 $\text{CH}_3(\text{CH}_2)_{11}-(\text{OHC}_2\text{CH}_2)_6\text{OH}$		$8,7 \cdot 10^{-5}$ "
	22 $\text{CH}_3(\text{CH}_2)_{7}-\text{C}_6\text{H}_4-(\text{HOCH}_2\text{CH}_2)_6\text{OH}$		$2,1 \cdot 10^{-4}$ "

láncre C-
atomjai
nem a
száma

$$\lg c_M = a - b N_C$$

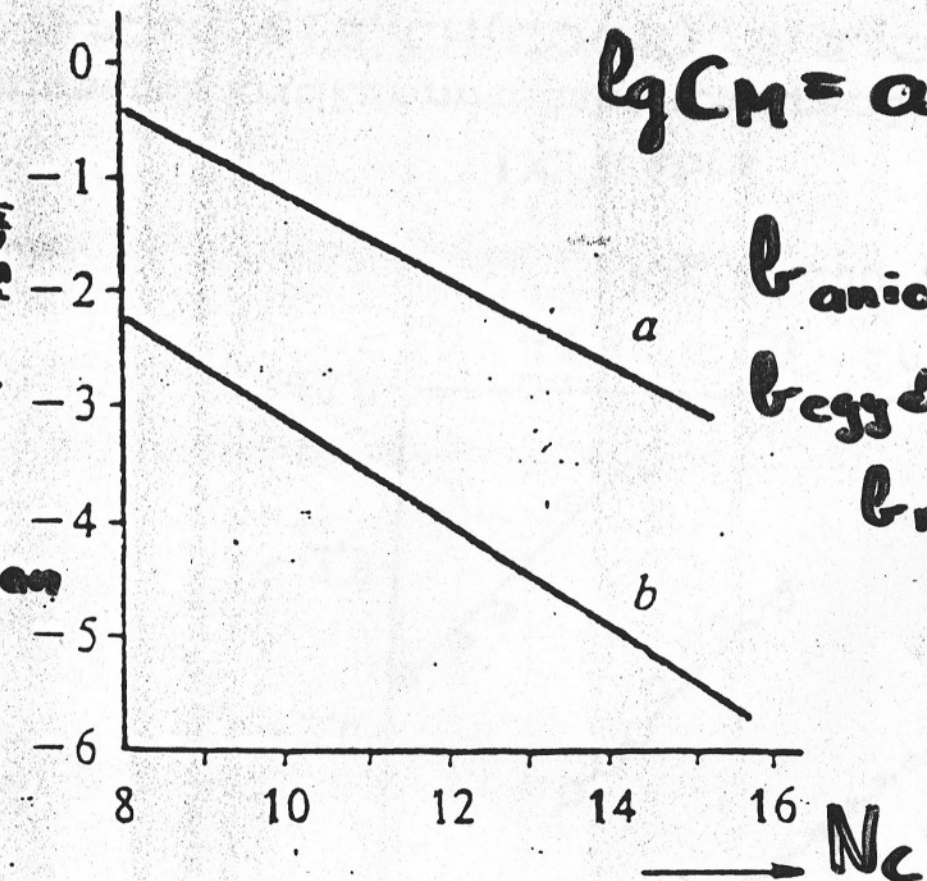
$$b_{\text{anionos}} = 0,29 - 0,30$$

$$b_{\text{egyel}} > b_{\text{anionos}}$$

$$b_{\text{max.}} \approx 0,5$$

c_M nő, ha

- láncre elágazó,
- láncre telítet-
- bennebb,
- né a poláros csoportok száma,
- a poláros csoport a láncren belül van
- a láncren vében fluorozott



szénatomok száma
a szénhidrogénláncban

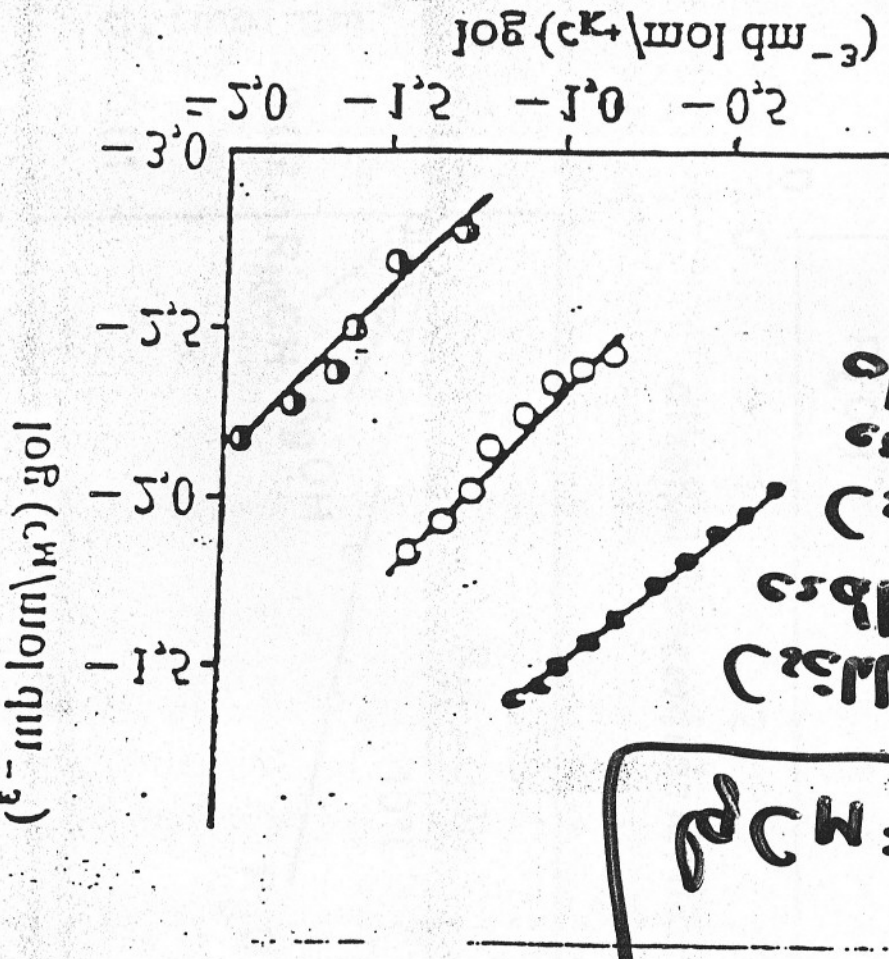
IX. 4. ábra.

A c_M változása a szénhidrogénlánc hosszával;

- alkil-szulfátok és alkil-trimetil-ammónium-bromidok;
- alkil-polietilén-glikol-éterek (etilén-oxid-csoportok száma: 6)

կուստրացիօնիքու յշ 0°C-ու: ●: $\text{B}^{13}\text{CH}(\text{COOK})^3$: ○: $\text{B}^{14}\text{CH}(\text{COOK})^3$: ○: $\text{B}^{15}\text{CH}(\text{COOK})^3$
Ա Կ-ՏԻԿԻ-ՄԱԼՈՒԹՈՒ խվիկու ակտուալ կուստրացիօններ լունգը է ըլլուանու

IX. 2. ՏՊՏՏ



Պարագագագութեան
համար առաջ և հետ-
հագութեան ը բարձրա-
ցածի ա բարձրացածի
հագութեան ը զարգացածի

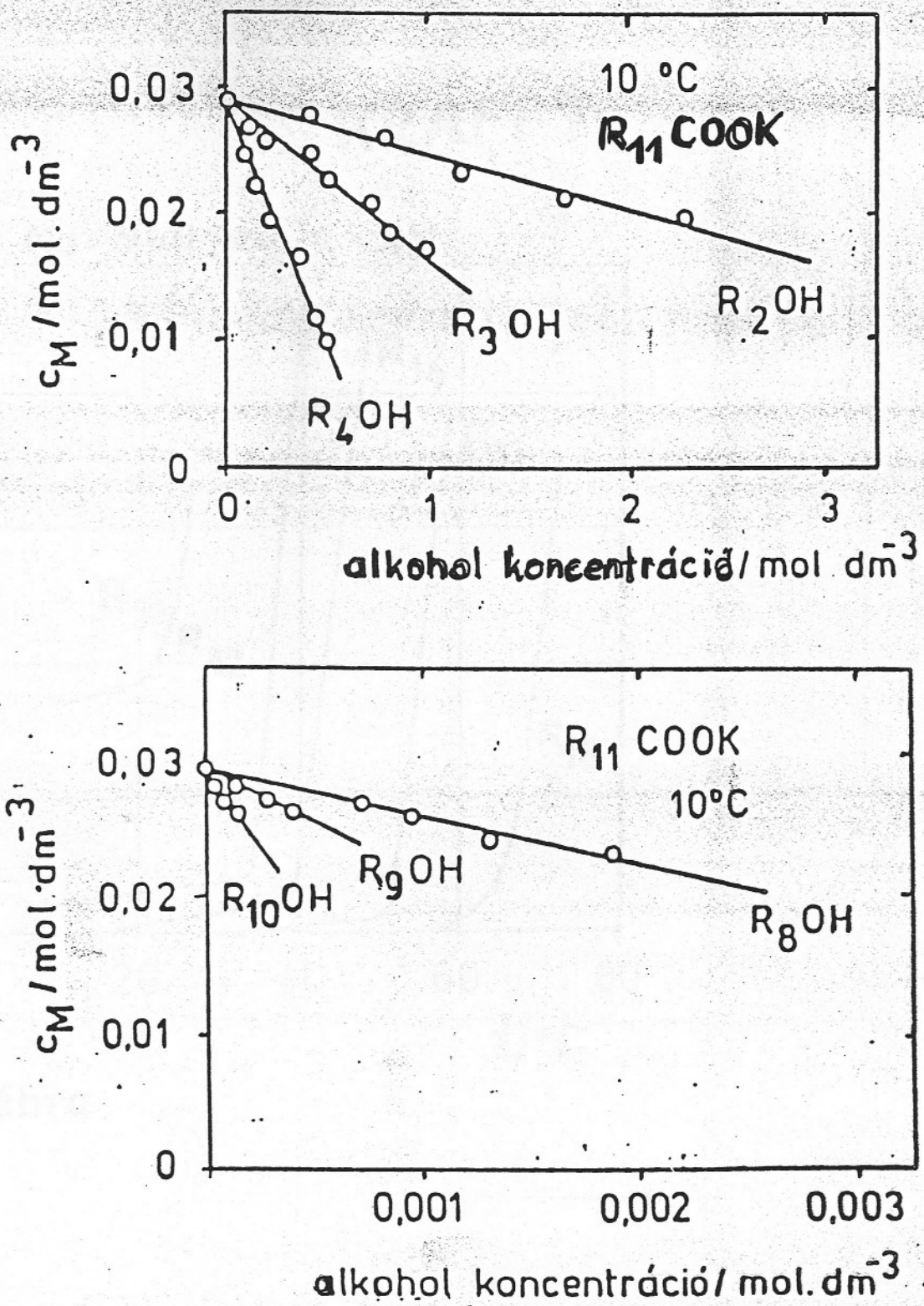
$$\rho_{\text{CH}} = V - B \rho^{\text{C}}$$

↑ Խառ
առ բարձրա-
ցած ըլլուանու

$\text{CH}_2 > \text{CH}_2^+$
 $\text{CH}_3 > \text{CH}_3^+ >$
Հարաբեկութեան:
Բարձրացած առաջ
 $\text{CH}_3^+ < \text{CH}_2^+$

Էլլուանու անուան:

Oldott anyagok hadsza

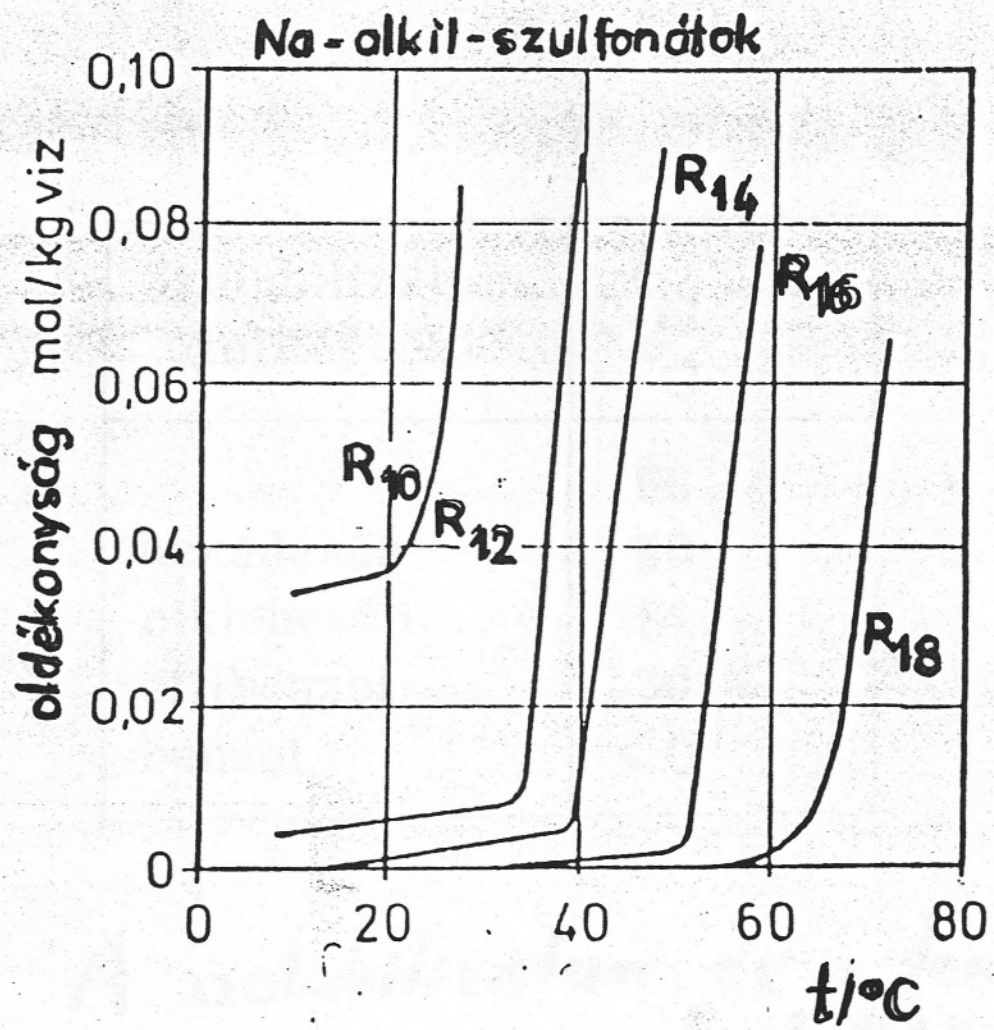


72. ábra

A $\text{CH}_3\text{-et}$ befolyásoló hatás az adalék kemiai felépítésétől függ.
Polaros szerves anyagok (pl. karbamid) növelik a c_M -et.

Oldékonysság

KRAFFT



73. ábra

Szolubilizálás

($\text{ctox} = 9,2$)

Nonit-fenol-polietilen-glikol)-éter 19%-os oldata

29. táblázat

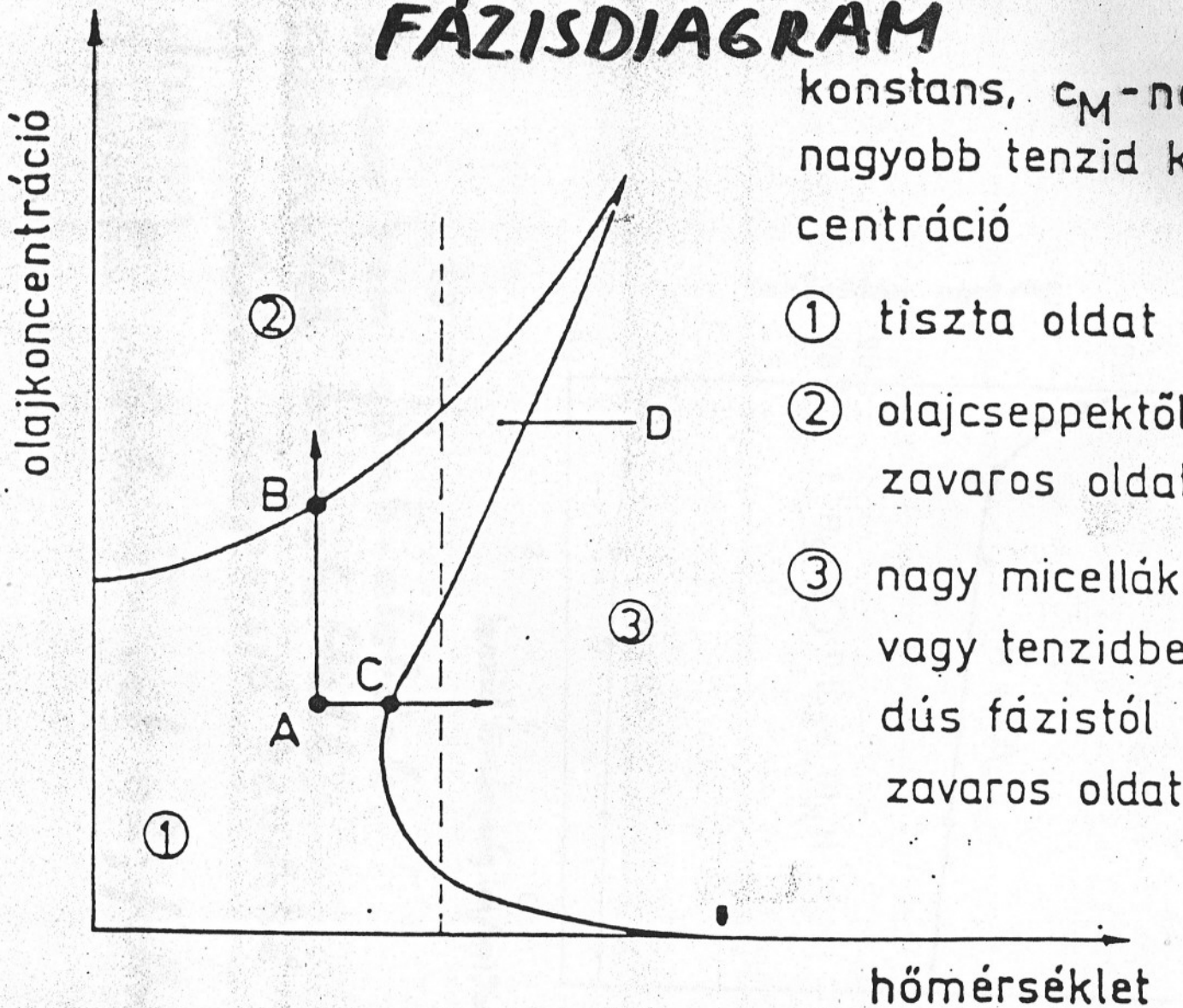
Szolubilizátum (telítésben)	$t_{\text{cl}}^{\circ}\text{C}$
-	56
hexadekán	80
ciklohexán	54
etilbenzol	30,5
benzol	<0

A szolubilizátum és a tenzidmolekulák száma a telítődéskor
0,2 és 1 között van.

ELEKTROLITOK HATÁSA:

- FELHŐSÖDÉSI PONT CSÖKKEN
- SZOLUBILIZÁLÁS NÖ
- NÖVELIK A MICELLA STABILITÁSÁT!

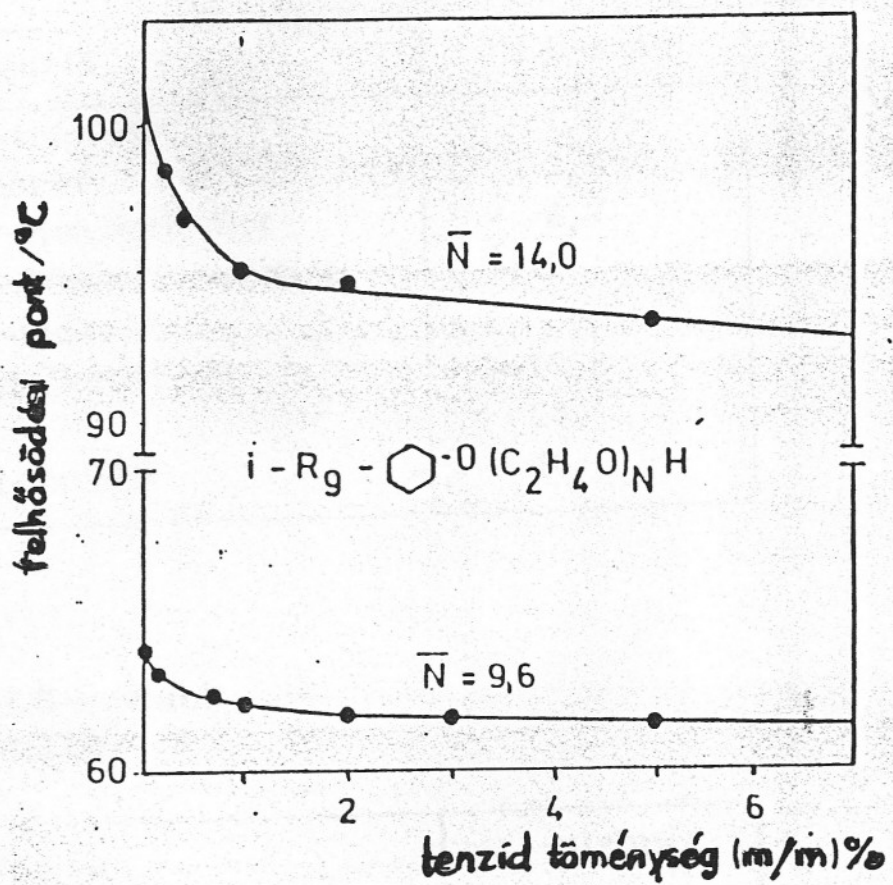
FÁZISDIAGRAM



84. ábra

Nemionos tenzidek

Micelláinak tulajdonságai sokban eltérnek az ionos tenzidek micelláitól.



83. ábra

- Sokszor nem gömb-élérhűek,
- Szerkezetük bonyolultabb
- A micelláris disperzió kevésbé monoszoros
- A micella mérete T -vel nő; felhősséde's

Nemionos tensidek
 HLB-szám (0 - 40) Hidrophil-lipoph balance
 Griffin(1948) polaritás nö

26. táblázat

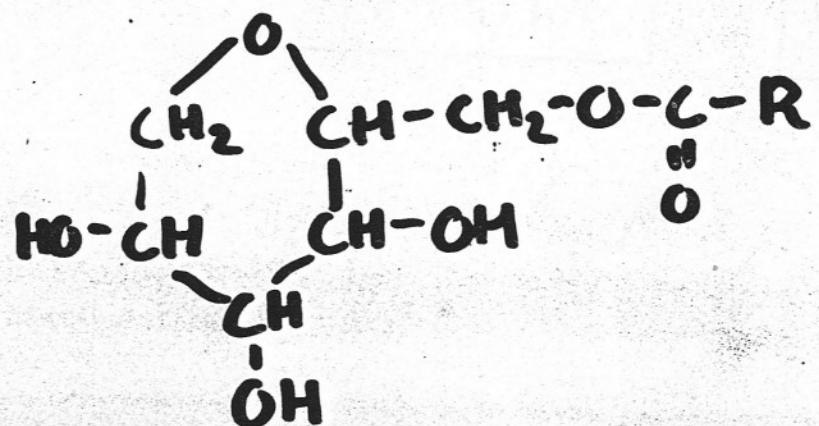
Tenzid	HLB-szám
anhidro-szorbit-trileát	1,8
sztearinsav-glicerid	3,8
anhidro-szorbit-monopalmitát	6,7
nátrium-dodecil-benzol-szulfonát	~12
anhidro-szorbit-monooleát 20 etoxi-csoporttal	~13,5
nátrium-oleát	20
nátrium-dodecil-szulfát	~40

27. táblázat

Csoport-HLB-számok

$$HLB = \sum_{i=1}^n (HLB)_i + 7$$

Csoport	(HLB) _i
-SO ₄ ²⁻ Na	38,7
-COOK	21,1
-COONa	19,1
-SO ₃ ²⁻ Na	~11
OC-O- (anhidroszorbit gyűrűhöz kapcsolódó)	6,8
OC-O- (alkillánkok között)	2,4



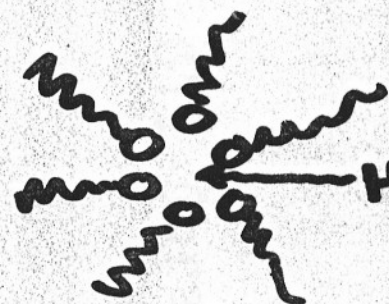
27. táblázat folytatása

Csoport	(HLB) _I
-COOH	2,1
-OH	1,9
-O-	1,3
-OH (anhidroszorbit-gyűrűn)	0,5
-CH-, -CH ₂ -, -CH ₃ , =CH-	-0,47

28. táblázat

HLB-szám	alkalmazás
3-6	V/O tipusu emulzió stabilizálása
7-9	nedvesítés
8-18	O/V tipusu emulzió stabilizálása
13-15	mosás vizes oldattal
15-18	szolubilizáció vizben

Inverz micellák



Hosszú szénláncú karbonsavak és sulfonsavak
nem, eölk képezhetnek inverz micellt.
H2O, Vízmentes köregben hosszú, fonatos szappan-
asszociációk.

N kicsi (10-50)

30. táblázat

Fém-laurátok N asszociációs száma toluolban

Fém	Ionsugár nm	N
nikkel	0,062	40
magnézium	0,065	13
rész(II)	0,069	8
cink	0,074	5,5
kadmium	0,097	-
kalclum	0,099	-
szlom	0,12	-

$$c = 0,02 \text{ mol/dm}^3 \text{ (toluol)}$$

↑ Kisebb ionsugár
 Nagyobb fajlagos töl-
 tések
 Jobb hidratáció
 Nagyobb asszociá-
 ciós szám
 Kisebb c.m.c. CM